

О СПЕКТРАХ ЛЕГКИХ ГИПЕРЯДЕР ІР-ОБОЛОЧКИ

М. И. Козлов, В. Н. Фетисов

В данной работе развивается теория низколежащих состояний гиперядер, состоящих из Λ -гиперона в $1s$ -оболочке и нуклонов, заполняющих низшую оболочечную конфигурацию $|s^4 p^n\rangle$. Волновая функция гиперядра со спином J и изоспином T $|JT\rangle$ строится по аналогии с теорией легких ядер /1,2/ в виде суперпозиции всех допустимых для заданной конфигурации состояний системы $n + 4$ нуклонов

$$|JT\rangle = \sum_{\lambda} \alpha_{\lambda} |s(\Lambda), s^4 p^n, \lambda; JT\rangle. \quad (1)$$

Из расчетов /1,2/ известно, что ядерные силы, ответственные за расщепление вырожденных оболочечных состояний $|s^4 p^n, \lambda\rangle$, можно удовлетворительно аппроксимировать парным центральным потенциалом и одночастичным спин-орбитальным взаимодействием. Мы предполагаем справедливость такого подхода и для описания спектров гиперядер. В базисе состояний λ энергетическая матрица

$$\sum_{i=1}^n \langle \lambda' | v_{\Lambda i} | \lambda \rangle + \sum_{e < m}^n \langle \lambda' | v_{em} | \lambda \rangle + a \sum_{i=1}^n \langle \lambda' | \hat{e}_i \hat{s}_i | \lambda \rangle - E \delta_{\lambda' \lambda}, \quad (2)$$

определенная коэффициенты смешивания α_{λ} и положения уровней E_{λ} для центральных ΛN - и NN -сил $v_{\Lambda i}$

и $V_{\text{еп}}$ и одночастичного спин-орбитального потенциала ($\hat{\epsilon}_i \hat{s}_i$) зависит от известных из теории обычных ядер параметров L , K и $a/2$ и одного неизвестного параметра Δ . С помощью техники генеалогических коэффициентов /3/ можно выразить Δ через интегралы по одночастичным радиальным функциям s -гиперона и p -нуклона $u_s(r_L)$ и $u_p(r_N)$ от ΛN -потенциалов

πV_ϵ

$$\Delta = F_s - F_t + \frac{1}{3}(\Phi_s - \Phi_t), \quad (3)$$

где

$$F_\epsilon = \frac{1}{4} \int_{-1}^1 dx \int_0^\infty dr_L r_L^2 \int_0^\infty dr_N r_N^2 u_s^2(r_L) u_p^2(r_N) \times \\ \times \left\{ {}^+V_\epsilon(r_N - r_L) + {}^-V_\epsilon(r_N - r_L) \right\}, \quad (4)$$

$$\Phi_\epsilon = \frac{3}{4} \int_{-1}^1 dx x \int_0^\infty dr_L r_L^2 \int_0^\infty dr_N r_N^2 u_s(r_L) u_s(r_N) u_p(r_L) u_p(r_N) \times \\ \times \left\{ {}^+V_\epsilon(r_N - r_L) - {}^-V_\epsilon(r_N - r_L) \right\}, \quad (5)$$

x – косинус угла между радиус-векторами r_L и r_N гиперона и нуклона. Два значения индекса ϵ – s и t – соответствуют синглетному и триплетному состоянию ΛN -системы.

В случае независимости ΛN -сил от четности (индекс π) ${}^+V_\epsilon = {}^-V_\epsilon$, поэтому $\Phi_\epsilon = 0$, и тогда выражение (3) для Δ , взятое с обратным знаком, совпадает с определением Далитца /4/. В настоящее время из-за плохого знания потенциалов πV_ϵ невозможно аккуратно вычислить Δ , поэтому в ряде работ /4,5/ величина Δ оценивалась по энергии связи B_Λ гиперона в ядре с одним, заранее заданным значением спина

нуклонного остова J в разложении (1). Наши оценки Δ по экспериментальным числам B_Λ с учетом смешивания всех состояний λ в волновых функциях $|JT\rangle$, которые будут опубликованы в более подробной статье, показывают, что Δ не выходит за интервал - 5 Мэв $\leq \Delta \leq 5$ Мэв.

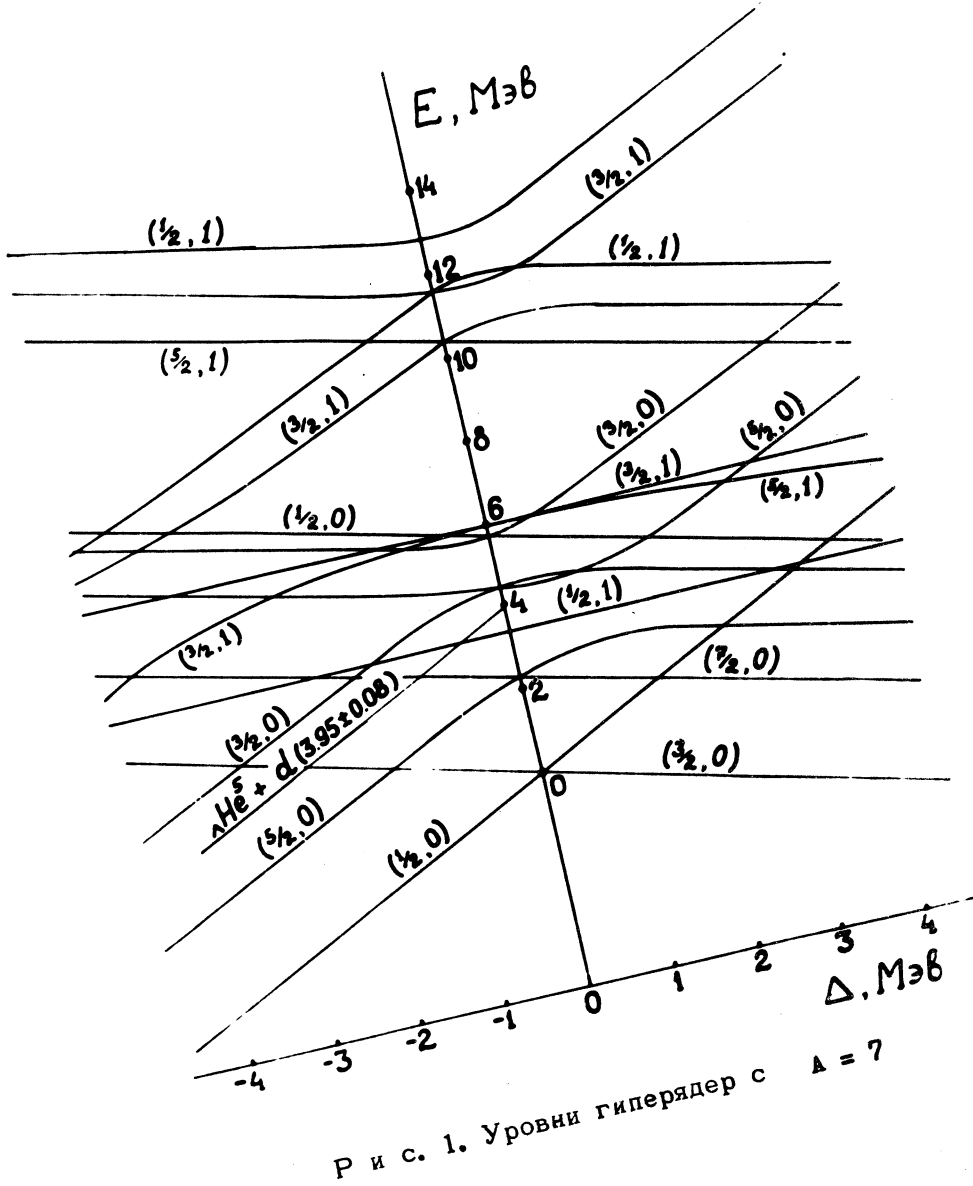
$\Delta \leq 5$ Мэв. Однако из расчетов свойств обычных ядер p -оболочки следует, что энергия связи нуклонов в ядре, по-видимому, не является надежно вычисляемой в рамках модели оболочек характеристикой /6,7/. По этой причине параметры оболочечной модели L, K и a часто находят по относительному расположению уровней /1,2/. В такой ситуации, может быть, и для гиперядер лучше определять Δ не с помощью B_Λ , а по относительному расположению уровней гиперядер.

Однопараметрическая структура энергетических матриц (2) позволяет исследовать картину низколежащих спектров в зависимости от Δ . На рис. 1,2,3 показаны уровни гиперядер с барионными числами 7,8 и 9, найденные путем диагонализации матриц (2). В круглых скобках приведены квантовые числа уровней - J и T . На рисунках указаны также в обозначениях Айзенберг и Лауритсена /8/ пороги состояний непрерывного спектра, на которые могут распадаться возбужденные гиперядра. При возбуждении гиперядер ниже этих порогов возможен радиационный распад состояний. С помощью значений масс ядер He^6 и Li^6, He^7 и Li^7, Li^8 и Be^8 , систематизированных в работе /8/, и известных из обзора /5/ величин B_Λ для ядер $Li^7, He^7, Li^8, He^8, Li^9, Be^9$ получаются следующие разности энергий $E_T(L^A)$ между возбужденным состоянием ядра L^A с изоспином $T = T_0 + 1$ и основным состоянием того же ядра с изоспином T_0 :

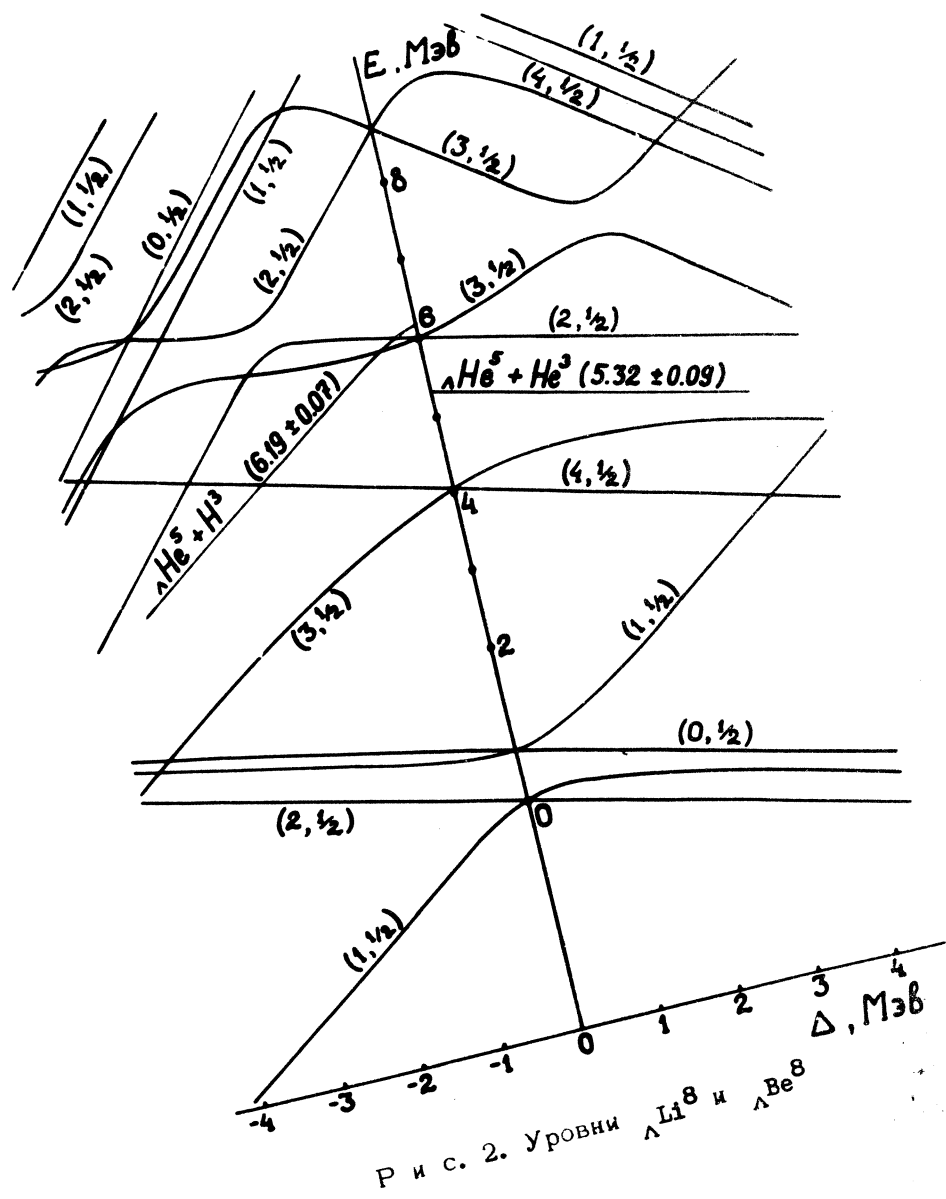
$$E_1(Li^7) = (3,74 \pm 0,24) \text{ Мэв},$$

$$E_{3/2}(Li^8) = (10,58 \pm 0,58) \text{ Мэв},$$

$$E_1(Be^9) = (15 \pm 0,17) \text{ Мэв}$$



Р и с. 1. Уровни гиперядер с $A = 7$



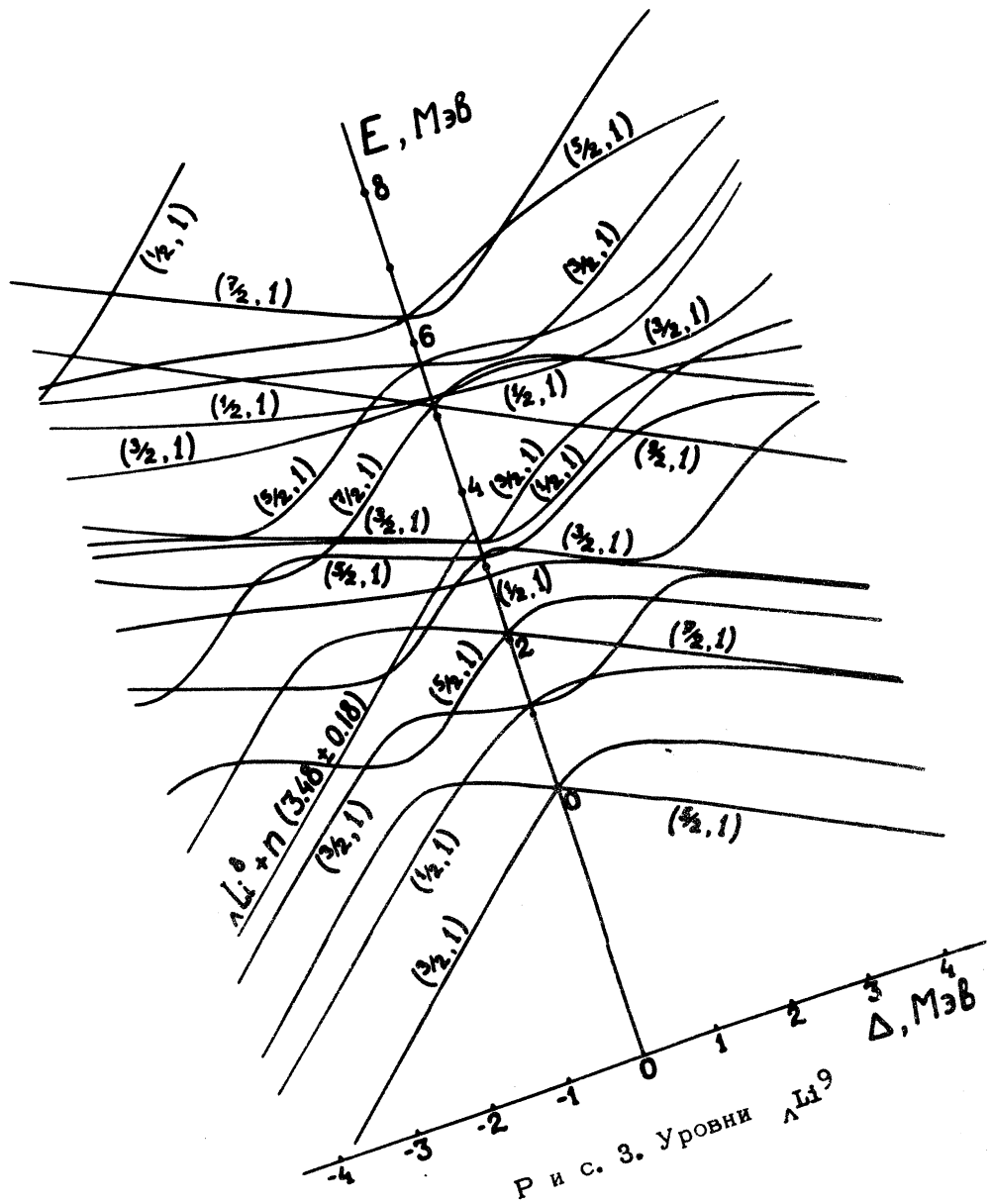


Рис. 3. Уровни Li^9

Согласно анализу свойств s -оболочечных гиперядер /4,5/ и работам /9/ по определению спина $^{Li}_{\Lambda}{}^8(J=1)$, а также рис. 2 этой работы, из которого видно, что для $^{Li}_{\Lambda}{}^8$ только при $\Delta > 0$ реализуется $J = 2$, следует считать наиболее правдоподобными отрицательные значения Δ . Подбирая Δ по $E_T(Z^{\Lambda})$, для $\Lambda = 7$ получаем $-0.6 \text{ Мэв} \leq \Delta \leq 0$, для $\Lambda = 9 \quad \Delta \approx -2.0 \text{ Мэв}$ и в случае $\Lambda = 8 \quad -1.5 \text{ Мэв} \leq \Delta \leq 0$. Интервал Δ для $\Lambda = 7$, возможно, не является достаточно точным, поскольку у $^{Li}_{\Lambda}{}^7$ и $^{He}_{\Lambda}{}^7$ наблюдается довольно широкое распределение B_{Λ} , вызванное, как обычно полагают /5/, существованием у этих гиперядер изомерных состояний. Картина спектра $^{He}_{\Lambda}{}^7$ на самом деле может быть более сложной, чем на рис. 1, если у ядра $^{He}_{\Lambda}{}^6$ действительно имеются отсутствующие в оболочечной теории низколежащие уровни в районе 3.5 Мэв /8/. Соответствующие уровни $^{He}_{\Lambda}{}^7$ распадались бы по каналам $^{He}_{\Lambda}{}^5 + 2n$ и $^{He}_{\Lambda}{}^6 + n$ с испусканием медленных нейтронов. В связи с этим интересно уточнить положение уровней в $^{He}_{\Lambda}{}^6$. Мы рассчитали также спектры $^{He}_{\Lambda}{}^8$ и $^{Be}_{\Lambda}{}^9$. У ядра $^{Be}_{\Lambda}{}^9$ имеются два возбужденных состояния с $T = 0, J = 3/2$ и $5/2$ в районе 2.96 Мэв и два уровня с $T = 0, J = 7/2$ и $9/2$ при 9.85 Мэв . Расщепление обеих групп уровней не превышает 65 кэв на интервале $-5 \text{ Мэв} \leq \Delta \leq +5 \text{ Мэв}$. У многих состояний гиперядер с $\Lambda = 8$ и 9 в области $\Delta \sim -1.5 \text{ Мэв}$ наблюдается сильное смешивание состояний нуклонного остова со спинами $j = |J \pm 1/2|$.

В настоящее время сформулированная выше расчетная схема применяется к описанию свойств более тяжелых гиперядер p -оболочки. Совсем недавно Ли и др. /10/ опубликовали другой вариант оболочечной теории гиперядер с одинаковыми для всех ядер параметрами модели, фиксированными по величинам B_{Λ} . Положение уровней и коэффициенты смешивания α_{Λ} , вычисленные в нашей работе и работе /10/, существенно

различаются. Развитие экспериментальной гиперядерной спектроскопии будет способствовать более глубокому пониманию свойств АН-сил и позволит проверить модели гиперядер.

Авторы благодарят А. М. Балдина, А. Н. Бояркину, Г. Я. Коренмана, Ю. Ф. Смирнова и Р. А. Эрамжяна за интерес к работе, поддержку и полезные обсуждения, С. И. Гришанову, Н. М. Кабачника и В. Л. Коротких за помощь при диагонализации матриц на электронной машине.

Поступила в редакцию
9 февраля 1971 г.

Л и т е р а т у р а

1. D. Kurath. Phys. Rev., 101, 216 (1956).
2. A. Н. Бояркина. Изв. АН СССР, 28, 3381 (1964).
3. H. A. Jahn, H. W. Wieringen. Proc. Roy. Soc., A209, 502 (1952).
4. R. H. Dalitz. Nuclear Interactions of the Hyperons, Oxford University Press, 1965.
5. J. Pniewski. Lectures at International School of Elementary Particle Physics, Herceg-Novi, Yugoslavia, 1969.
6. J. P. Elliott, A. Lanè. Handbuch der Physik, 34, 336 (1957). (имеется русский перевод в сб. "Строение атомного ядра", ИИЛ, Москва, 1959 г.).
7. S. Cohen, D. Kurath. Nucl. Phys., 73, 1 (1965).
8. T. Lauritsen, F. Ajzenberg-Selove. Nucl. Phys., 78, 1 (1966).

9. D. Davis, R. Levi-Setti, M. Raymond. Nucl. Phys., 41, 73 (1963), R. H. Dalitz. Nucl. Phys., 41, 78 (1963).
10. T. Y. Lee, S. T. Hsieh, C. T. Chen-Tsai. Phys. Rev., C2, 366 (1970).